2019,38(10): 2362-2370

普 聿, 苏 丹, 王 鑫, 等. 固定化混合菌修复冻融土壤 PAHs 污染的研究[J]. 农业环境科学学报, 2019, 38(10); 2362-2370.

PU Yu, SU Dan, WANG Xin, et al. Application of immobilization technology of cold tolerance microorganisms in the remediation of polycyclic aromatic hydrocarbons in freeze-thaw soil[J]. *Journal of Agro-Environment Science*, 2019, 38(10): 2362–2370.

固定化混合菌修复冻融土壤PAHs污染的研究

普 聿¹, 苏 丹¹*, 王 鑫²*, 王天杰¹, 刘 伟¹

(1.辽宁大学环境学院, 沈阳 110036; 2.沈阳大学区域污染环境生态修复教育部重点实验室, 沈阳 110044)

摘 要:从石油污染冻融土壤中筛选出1株细菌(Pseudomonas sp.)和1株真菌(Mortierella alpina),以玉米芯为载体对混合菌进行固定化,研究低温冻融环境下,固定化混合菌对菲(Phe)和苯并[b]荧恩(BbF)污染土壤的生物强化修复作用。通过高效液相色谱法(HPLC)分析 Phe 和 BbF 的降解动态,用 Michaelis—Menton 与 Monod 动力学方程将结果进行拟合,采用高通测序分析修复过程中微生物群落的变化。结果表明,处理前,冻融土壤中 Phe、BbF 的浓度分别为(105.4±4.8)、(6.12±1.1)mg·kg⁻¹,60 d修复试验后,固定化混合菌可降解土壤中(56.62±3.21)%的 Phe 和(38.21±1.82)%的 BbF,固定化混合菌对冻融环境有较好的抗性,其降解能力优于游离菌。修复试验中,稳定前期降解速率均高于稳定期降解速率。固定化混合菌的投加,提高了 Phe、BbF 的降解速率,缩短了 Phe、BbF 降解的半衰期,反应速率分别提高至 2.02、0.65 d⁻¹,半衰期分别缩短至 50.17 d 和 82.12 d;改变了土壤中微生物的群落结构及多样性,其中细菌的多样性和均匀度均降低,多环芳烃(PAHs)的降解与细菌的群落多样性和均匀度呈现负相关;细菌变形杆菌门(Proteobacteria)和真菌鞭毛菌门(Mortierellomycota)成为主要的优势菌门,相对丰富度分别为 88.72% 和 81.15%;细菌假单胞菌(Pseudomonas sp. SDR4)和真菌高山被孢霉菌(Mortierella alpina. JDR7)相对丰度分别上升至 80.03% 和 81.15%,形成了显著的降解真菌—细菌共生优势菌株体系,明显提高了低温土壤中的 PAHs 污染的修复效果。固定化混合菌可广泛应用于冻融环境下土壤 PAHs 污染的生物强化修复。

关键词:固定化混合菌;土壤;微生物多样性;动力学;低温冻融

中图分类号:X172 文献标志码:A 文章编号:1672-2043(2019)10-2362-09 doi:10.11654/jaes.2019-0034

Application of immobilization technology of cold tolerance microorganisms in the remediation of polycyclic aromatic hydrocarbons in freeze-thaw soil

PU Yu¹, SU Dan^{1*}, WANG Xin^{2*}, WANG Tian-jie¹, LIU Wei¹

(1.School of Environmental Science, Liaoning University, Shenyang 110036, China; 2.Key Laboratory of Regional Environment and Eco-Remediation, Ministry of Education, Shenyang University, Shenyang 110044, China)

Abstract: A bacterial (*Pseudomonas* sp.) and fungal (*Mortierella alpina*) strain were screened from oil-contaminated frozen-thawed soil, and the mixture of microorganisms was immobilized using corncobs as carriers to study the bio-augmented remediation of phenanthrene (Phe) and benzo[b]fluoran(BbF)-contaminated soil by the immobilized mixed bacteria under a low temperature freeze-thaw environment. The degradation dynamics of Phe and BbF in soil were analyzed using a high-performance liquid chromatography (HPLC) method, and the results were fitted to the Michaelis-Menton and Monod dynamic models, while changes of the microbial community were analyzed using high-throughput sequencing technology. The results showed that before the bio-augmented treatment, the concentrations of Phe and BbF in freeze-thaw soil were (105.4±4.8) and (6.12±1.1) mg·kg⁻¹, respectively. After a 60 d remediation experiment, (56.62±3.21)% and

收稿日期:2019-01-09 录用日期:2019-06-19

^{*}通信作者:苏 丹 E-mail:sudan1980@126.com;王 鑫 E-mail:wx1979@126.com

基金项目:国家自然科学基金项目(41501346);辽宁省自然科学基金项目(20180550587,20180550756);沈阳市中青年科技创新人才支持计划项目 (RC180355)

Project supported: The National Natural Science Foundation of China (41501346); The Natural Science Foundation of Liaoning Province (20180550587, 20180550756); Shenyang Young and Middle-aged Science and Technology Innovation Talent Support Program (RC180355)

(38.21±1.82)% of Phe and BbF, respectively, in the soil could be removed by the immobilized mixed bacteria, which displayed a better resistance and degradation ability to the freeze-thaw environment than did the free bacteria. In the remediation test, the pre-stabilization degradation rate was higher than the stable degradation rate was. The addition of immobilized mixed bacteria significantly increased the degradation rate of Phe and BbF to 2.02 d⁻¹ and 0.65 d⁻¹, respectively, while the half-life of degradation was shortened to 50.17 d⁻¹ and 82.12 d⁻¹, respectively. In the bio-augmented remediation process, the microbial community composition and diversity in soil were changed, and the diversity and uniformity of bacteria decreased. The degradation rate of polycyclic aromatic hydrocarbons (PAHs) was negatively correlated with community diversity and uniformity of bacteria. Proteobacteria and Mortierellomycota became the dominant phyla with a relative abundance of 80.03% and 81.15%, respectively, while Pseudomonas SDR4 and Mortierella alpina JDR7 became the dominant genera with a relative abundance of 80.03% and 81.15%, respectively, forming a degradation system consisting of a significant fungal-bacterial symbiotic dominant strain, which significantly improved the remediation efficiency of PAH pollution in low temperature soil. The immobilized strains could be widely used in bioremediation of soil PAH pollution in freeze-thaw environments.

Keywords: immobilized mixed strains; soil; microbial diversity; kinetics; low temperature freezing and thawing

多环芳烃(PAHs)是一类具有复杂苯环结构的高 积累有毒化合物,是土壤中难降解的有机污染物。在 我国,土壤的PAHs污染处于中低水平,PAHs的生物 聚集、难降解性导致其长时间积留在土壤的表层与亚 表层中,土壤PAHs污染将是一个潜在的环境隐患。

固定化微生物技术是目前修复土壤PAHs污染 的常用技术,该技术解决了微生物易受环境、温度影 响以及生物有效性低等问题,很大程度上提高了反应 的修复效果。目前土壤的 PAHs 污染修复主要基于 常温条件下的微生物修复,在秋冬长期的冻融环境 下,低温抑制了微生物的生长代谢,造成修复效果 差四。已有大量研究表明嗜冷菌四和耐冷菌四均对冻 融环境有较高的抗性,但在原位土壤修复中如何应用 这类菌株尚缺乏相关研究。Juhasza等四研究表明,高 环 PAHs 的降解主要以共代谢的方式,真菌分泌的酶 类物质可分解高环PAHs的苯环,开环过程所产生的 有毒中间物质通常需要细菌的联合作用才能将其矿 化成水和 CO₂, 真菌-细菌的联合作用极大提高了 PAHs降解的差异性。微生物降解过程中群落的多样 性与污染修复效率密切相关,能更清楚地揭示降解的 机制,由于传统的分子指纹图谱通常一次分析低于 100条微生物序列,对土壤中复杂的微生物分析性准 确度覆盖率低區。高通量测序技术能一次对几百万 条 DNA 分子进行测序分析,因而能更精准地分析土 壤中复杂微生物的群落变化。

本研究通过构建玉米芯-耐低温真菌-细菌共生 体系,分析其在低温环境下对PAHs污染土壤的生物 强化修复效果;通过拟合PAHs的浓度变化,构建动 力学方程,分析降解过程中微生物群落结构变化与污 染物浓度变化的相关关系,从PAHs降解动力学与微 生物多样性角度揭示玉米芯-真菌-细菌共生体系对 冻融环境的抗性机制,为寒冷地区的PAHs污染土壤 修复提供理论基础,同时也为普及和推广耐冷微生物 修复环境污染提供一个全新的视角和方向。

材料与方法

1.1 供试材料

冻融土壤:2017年12月16日采自前北京焦化厂 的表层冻融土(0~20 cm),其基本理化性质:pH 8.36, 总氮 0.251%, 总碳 12.36%。

载体玉米芯购自中国科学院沈阳应用生态研究 所,乙腈为色谱纯(Sigma-Aldrich公司),正己烷和二 氯甲烷均为分析纯(山东禹王实业总公司),硅胶60~ 100 mm(国药集团有限公司)。

菌株:混合菌由本研究室前期分离筛选,经菌株 鉴定分别为假单胞菌(Pseudomonas sp.SDR4)和高山 被孢霉菌(Mortierella alpina.JDR7)。

固定化增殖培养基(1.0 mL·g⁻¹):蔗糖4g、酵母 膏 0.3 g、KH₂PO₄ 0.05 g、(NH₄)HPO₄ 0.2 g、MgSO₄·H₂O $0.025 \, \mathrm{g}_{\odot}$

1.2 试验方法

1.2.1 固定化玉米芯混合菌的制备

将碾碎的玉米芯颗粒(1.0~1.5 cm)置于烘箱中 120 ℃烘干,加入 1.0% 的生石灰溶液浸泡 24 h,和麦 麸(20%)混匀,控制含水率为47%,将pH调节为7.1, 摇床振荡 24 h(110 r·min⁻¹), 离心 15 min(3000 r· min-1)后弃上清液,烘干后过筛,在高压蒸汽灭菌器 (MLS-3780)121 ℃灭菌60 min。将假单胞菌和高山 被孢霉菌至于完全培养基中,15 ℃、110 r·min⁻¹摇床 培养30~40 h,制得假单胞菌细菌密度为:6×108 cfu·

g-1、高山被孢霉菌孢子悬浊液密度为:6×108 cfu·g-1。 将假单胞菌与高山被孢霉菌接种于完全培养基中, 15 ℃、110 r·min⁻¹ 摇床混合培养 3 d, 制备复合菌剂 (按体积比,假单胞菌:高山被孢霉菌=1:1)。用增殖 培养基浸润灭菌后的玉米芯颗粒12h,按10%量接种 复合菌剂,放置于低温光照培养箱(GZH-0328)在 15 ℃温度下适量的补充增殖培养基,避光培养7 d制 得玉米芯固定化混合菌颗粒[6]。

1.2.2 降解试验

模拟冬季土壤的冻融循环试验,将土样分装干培 养瓶中,每瓶5g,放置在XT5405型高低温冻融循环 试验箱避光低温培养:在-10℃冻结2d,10℃解冻2 d(降解总周期60d,共冻融循环15次),试验设3组对 照:(1)按土壤质量的10%接种固定化混合菌,游离 菌为对照,表征游离菌与固定化菌PAHs的降解效果 差异;(2)灭菌土壤投加空白载体,表征因载体吸附导 致的非生物性的污染物降解:(3)未灭菌土壤,表征土 著菌的降解效果,及投加混合菌后是否会产生竞争影 响;(4)未灭菌土壤投加空白载体,表征固定化土著菌 与固定化混合菌的降解效果差异。随时补加无菌水 保证土壤含水率为30%。分别在0、15、30、45、60 d时 测定土壤中Phe、BbF的残留量,计算各处理组的去除

$$\eta = \frac{W_0 - W_x}{W_0}$$

式中:W为初始土壤残余PAHs含量,g;Wx为土壤中残 余PAHs含量,g。

每种处理设置3个平行,重复2次。实验分组如 下:

CK为未灭菌土样(CK);CK1为灭菌土壤;CK2为 灭菌土样+灭菌玉米芯载体; H为未灭菌土样+游离混 合菌: MC-S4J7 为未灭菌土样+玉米芯固定化混合菌 颗粒:MC-CK为未灭菌土样+灭菌玉米芯载体。

1.2.3 土壤 PAHs 含量的提取和检测

土壤中PAHs含量采用超声提取 HPLC 法测定[7]。 取土样过筛加入15 mL二氯甲烷超声2h,滤膜过滤 后加入10 mL二氯甲烷再次超声1 h,经硅胶柱净化 处理, 氮气吹干后1 mL 乙腈定容, 高效液相色谱仪 (Agilent 1100型)测定, PAHs 分析专用柱 ZORBAX EclipsePAH,柱温(25±0.1)℃,流动相乙腈:水=60%: 40%, 流速 1.100 mL·min⁻¹, 进样量为 10 μL, 各种 PAHs 以色谱峰保留时间定性,外标法定量,方法回 收率为82.16%~91.43%。

1.2.4 微生物多样性

对原土样(CK)和投加玉米芯固定化混合菌 (MC-S4J7)修复30d后的土样进行高通量测序分析。 主要分析步骤如下:根据OMEGA E.Z.N.A™MagBind SoilDNA Kit 试剂盒提取土壤样品的总 DNA,利用 Qubit 3.0 DNA 检测试剂盒对基因组 DNA 精确定量[8]。 第一轮PCR扩增:细菌(16SrDNA)已融合了Miseg测 序平台的 V3-V4 通用引物,341F 引物为:5'-CCTAC-GGGNGGCWGCAG-3',805R 引物为:5'-GACTACH-VGGGTATCTAATCC-3',真菌(ITS)已融合了Miseg 测序平台的ITS1-ITS2通用引物,ITS1F引物为:5'-CTTGGTCATTTAGAGGAAGTAA-3',ITS2R引物为:5'-GCTGCGTTCTTCATCGATGC-3'。引入Illumina桥式 PCR兼容引物后,进行第二轮扩增^[9]。利用Prinseg 软 件对高通量测序结果进行质量控制,将所测序列与 RDP数据库进行序列比对,使用 Mothur 软件归类同 种可操作分类单元(OTU),计算多样性指数,对测序 结果进行物种分类分析和菌种差异分析。数据分析、 接头、引物序列等去噪及 OTU、Alpha 和 Beta 多样性 等相关分析均由上海生工有限公司完成,各指数计算 方法如下:

Chao1=S+
$$\frac{n_{1}(n_{1}-1)}{2(n_{2}+1)}$$
;
 $ACE=S_{abund}+\frac{S_{rare}}{C_{ACE}}+\frac{n_{1}}{C_{ACE}}r^{2}ACE$;
Shannon= $-\sum_{i=1}^{S_{obs}}\frac{n_{i}}{N}\ln\frac{n_{i}}{N}$;
Simpson= $\frac{\sum_{i=1}^{S_{obs}}n_{i}(n_{i}-1)}{N(N-1)}$

式中: S_{obs} 为实际OTU; n_1 为只含1条OTU; n_2 为只含2 条OTU; n_i 为第i个OTU包含序列数;N为总OTU数。 1.2.5 数据处理

使用SPSS 19.0软件对实验数据进行单因素方差 分析,P<0.05表示差异显著。

2 结果与讨论

2.1 土壤 PAHs 含量

土壤中PAHs含量见表1。

由表1可知,土壤的PAHs总量为(247.1±18.14) mg·kg⁻¹,土壤中以三环和四环PAHs为主,其中菲Phe (3环)占总量的40.2%,含量最高,高环PAHs中含量 最高的是BbF,为(6.12±1.1)mg·kg⁻¹。本试验主要研 究两种含量较高且具有代表性的Phe、BbF的降解。

表1 焦化厂土壤中PAHs浓度

Table 1 PAHs concentrations in coking plant soil

PAHs	环数 Cylinder number	含量Concentration/mg·kg ⁻¹	PAHs	环数 Cylinder number	含量 Concentration/mg·kg ⁻¹
菲(Phe)	3	105.4±4.8	苯并(b)荧蒽(BbF)	5	6.12±1.1
荧蒽(Flt)	4	28.7±1.8	苯并(k)荧蒽(BkF)	5	2.01±0.12
芘(Pyr)	4	15.34±3.2	苯并(a)芘(BaP)	5	4.21±0.11
苯并蒽(BaA)	4	21.56±2.3	二苯并(ah)蒽(DahA)	5	0.38±0.01
蔗(Chry)	4	4.8±0.91	苯并(ghi)菲(BgP)	6	3.15±0.14
			茚并(cd)芘(IcdP)	6	4.13±0.45
总量			247.1±	18.14	

2.2 PAHs的非生物损失

Phe 和 BaP 在土壤中不易挥发,较难降解,在低温冻融环境下培养60 d后,仅添加空白载体 CK2 与灭菌土壤 CK1 相比,对 Phe 和 BbF 去除差异不大,分别为0~4%和0~3%。在 CK1 中仍有(89.76±1.49)%和(94.71±0.99)%的 Phe 和 BaP,表征挥发损失和载体吸附所造成的污染物非生物损失很小。

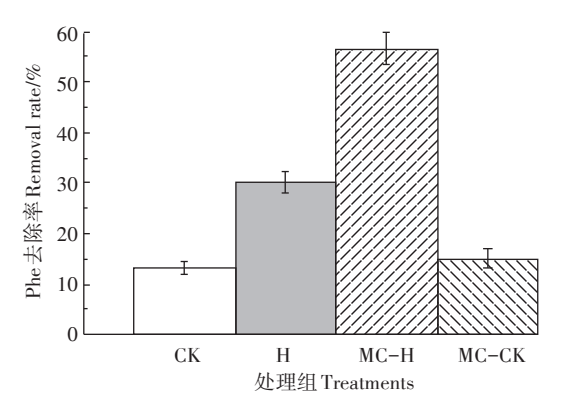
2.3 PAHs 的生物修复

通过土壤中PAHs含量变化来反映修复效果,修复结果见图1。

由图 1 知,60 d 后 3 种处理组降解率分别为: MC-H>H>H>C-CK>CK。MC-S4J7 的投加对冻融交替作用下的土壤修复效果显著(P<0.05),可分别降解(56.62±3.21)%和(38.21±1.82)%的 Phe 和 BbF。玉米芯作为载体对微生物及酶都有很强的亲和力,将混合菌吸附固定后,载体本身构建的限定空间为菌体创造了缓冲的微环境,隔断了菌体与恶劣土壤环境的直接接触^[10];很大程度上降低了土著菌或噬菌体的恶性竞争和侵害^[11],同时玉米芯的孔隙结构会吸附、富集土壤中分布不均的 PAHs,成为土著菌驯化的场所^[12];菌体分泌的胞外酶也会被固定,提高了有效降解菌的活性和单位细胞密度;玉米芯腐殖化过程中产生的各种溶解性有机质可以促进高环 PAHs 的共代谢作用^[13],因而提高了混合菌对 Phe、BbF 的降解作用。

处理组中Phe的降解率普遍高于BbF,这是因为微生物降解主要是利用水溶中的PAHs,BbF的苯环数多,其正辛醇-水分配系数Kow值较大[14],不易溶解,更易吸附在土壤有机质中,导致固相向液相的迁移率低[15],不易被菌株所利用,造成BbF的降解率低于Phe。

焦化土壤中存在的土著微生物对Phe和BbF有一定的降解作用,但由于温度过低、有毒微生物的恶性竞争及PAHs分布不均等问题,造成土著菌的降解酶活性



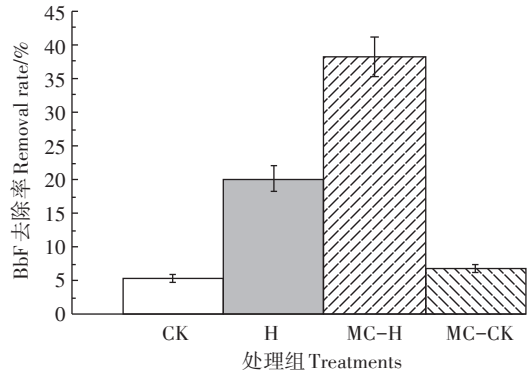


图1 混合菌对土壤中Phe和BbF的降解率

Figure 1 Degradation rates of Phe and BbF by immobilized strains in 60 days

低下,因此CK和MC-CK处理组的修复效果不显著。

游离混合菌的投加,在一定程度提高了土壤中Phe、BbF的去除率,但修复效果并不理想。研究指出大部分常温微生物的最适生长温度在30℃以上[16],在低温环境下很难保持活性甚至处于休眠状态,假单胞菌(Pseudomonas sp.SDR4)和高山被孢霉菌(Mortierella alpina. JDR7)均为高效的耐冷菌株,耐冷菌株的细胞膜中含有较高的短链脂肪酸[17],可以提高细胞内外物质交换,此外分泌的同工酶也可以调节温度的变化[18],从而保持高的代谢活性,因此在0~5℃低温下仍可生长繁殖[19]。

2.4 PAHs降解速率及动力学

2.4.1 PAHs 降解速率

微生物通过分泌酶类物质来降解PAHs,发生的酶促反应符合 Michaelis-Menton 动力学方程^[20],根据动力学方程可计算出混合菌对Phe和BbF降解达到稳定前期和稳定期各个时段的降解速率v,见表2。

表 2 混合菌对冻融土壤中 Phe 和 BbF 的降解速率(d⁻¹)
Table 2 Degradation rate per day of PAHs during specific pre-

Table 2 Degradation rate per day of PAHs during specific presteady and quasi-staedy-steady by strains(d⁻¹)

时间	底物	降解速率 Degradation rate			
Time	Substrate	CK	Н	МС-Н	
稳定前期 Stabilization prophase	Phe	0.499	1.490	2.024	
稳定期 Stable period		0.145	0.208	0.651	
稳定前期 Stabilization prophase	BbF	0.007	0.038	0.076	
稳定期Stable period		0.005	0.015	0.027	

混合菌对土壤中的Phe和BbF降解速率在不同阶段的动态变化见图2。

由图 2 可知,3 种处理方式下的土壤均呈现出一致的降解规律,0~15 d为降解的高速阶段,15~60 d降解进入缓慢阶段,趋于平缓。由 Michaelis-Menton方程可知当反应到达稳定期时,降解速率与 PAHs 的浓度呈正相关。分析原因如下:降解试验的阶段性时期的降解机制不同,稳定前期(0~15 d) Phe 和 BbF 的初始浓度较高,由物理、化学及生物 3 种降解机制共同作用,降解速率快,随着反应的进行,污染物浓度降低,生物降解成为主导作用,但生物降解的强度会随着降解周期的延长而减弱,导致速率下降;PAHs 降解中产生的中间产物,其结构上含有一定的羧基、环氧等亲水基团,代谢的中间产物会被微生物降解、同化吸收,同时中间产物易与土壤共价结合,造成与未降

解的PAHs产生竞争关系,降低PAHs的可提取态含量与生物可利用性,导致降解速率降低[21];土壤的纳米孔隙会吸附污染物,PAHs在孔隙中难被利用,易与降解菌产生隔断,导致降解速率降低[22]。

由表 2 知, H 处理组在稳定前期和稳定期对 Phe、BbF 降解速率分别为 1.490、0.208 d⁻¹和 0.038、0.015 d⁻¹, MC-H 处理组降解速率明显高于 H 处理组, 降解速率分别为 2.024、0.651 d⁻¹和 0.076、0.027 d⁻¹, 固定化处理后的混合菌,对 PAHs 降解速率明显得到提高。

2.4.2 PAHs 降解速率及动力学

建立 Monod 模型,得到动力学方程:

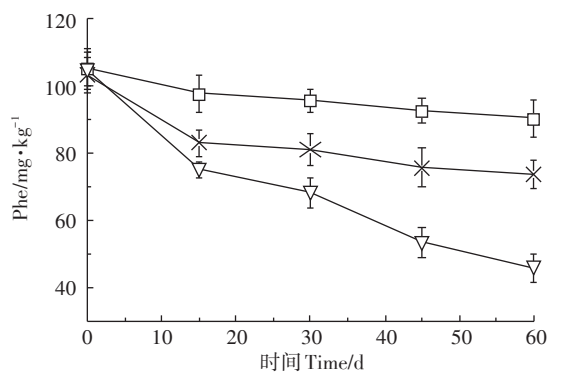
-dc/dt=Kt

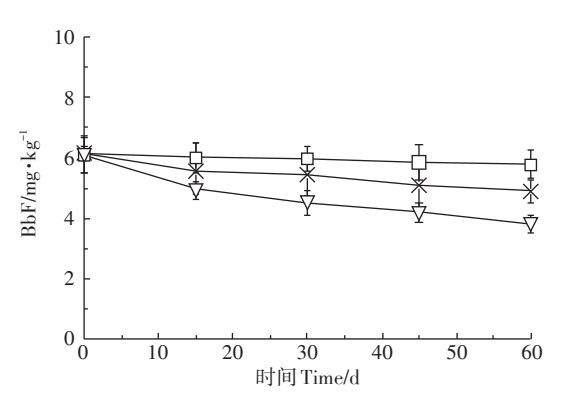
式中:c为 PAHs浓度, $mg \cdot kg^{-1}$;t为反应时间,d;k为动力学常数。Phe 和 BbF 降解符合一级动力学特征,结果见表 3。

由表 3 可知, CK 中 Phe、BbF 的半衰期分别为 272.51、736.71 d, 土壤中土著菌在低温下几乎不能生长代谢,原土壤中对高环 BbF 的降解菌过少,从而导致半衰期过长。经固定化处理的混合菌缩短了冻融土壤中 Phe、BbF 降解的半衰期,分别缩短至 50.167、82.12 d。巩宗强等[23]研究指出一般降解微生物对 Phe 的自然降解半衰期为 20 d, 由于低温冻融环境与微生物的代谢呈负相关,且冻融作用会造成土壤的有机碳增加,从而使 PAHs 易与土壤有机碳结合,极大降低了 PAHs 的降解速率,延长降解半衰期[23]。

2.5 Alpha 多样性分析

Alpha多样性分析指标是生态系统的群落多样性综合性指标^[24], Ace和Chao 1指数越高,土壤群落丰富度越高, Shannon指数越大、Simpson指数越小则土壤群落多样性越高^[25]。





-□- CK -×-H --∇- MC-H

图2 混合菌对土壤中Phe和BbF的降解动态变化

Figure 2 Dynamics of Phe and BbF in soils degrated by strains

表3 动力学方程

Table 3 Dynamics equations

	Phe			BbF			
Method	动力学方程Kinetic equation	R^2	半衰期 Half-life period/d	动力学方程 Kinetic equation	R^2	半衰期 Half-life period/d	
CK	c=105.4e ^{-0.002 5t}	0.974 1	272.51	c=6.12e ^{-0.000 9t}	0.966 8	763.71	
Н	c =103.4 $e^{-0.020t}$	0.957 7	122.70	c =6.02 $e^{-0.003 4t}$	0.974 5	200.02	
МС-Н	c =104.8 $e^{-0.034t}$	0.977 2	50.17	c=6.28e ^{-0.008 4t}	0.966 8	82.12	

CK和MC-S4J7样品中分别共获得优质ITS序列、优质16S序列分别为109728、160298条,在97%相似性基础上ITS和16S可划分OTU分别为1207个和7105个。测序的覆盖率指数为0.99和0.96,说明本次测序可行性较高,覆盖了焦化土壤中所有的真菌细菌类群。土样Alpha多样性指数结果见表4。

由表4可知,MC-S4J7与CK的Alpha多样性指数存在明显差异,细菌群落丰富度和群落的均匀度降低,真菌的群落丰富度和群落均匀度提高;细菌的丰富度指数和Shannon指数为真菌的2~3倍,表征了焦化厂土壤土著微生物中以细菌为主。

分析原因如下:微生物对PAHs的降解主要通过降解和共代谢,焦化厂PAHs污染土壤中PAHs以三环和四环为主(约占90%,其中Phe含量最高),土壤中的土著微生物中以降解Phe的细菌居多。土样中投加的玉米芯含有大量的纤维素,真菌是纤维素、木质素等降解过程的主角,玉米芯的投加是处理后土样真菌群落多样性提高的主要原因。De Boer等[26]研究发现,土壤中的细菌诱发产生的抗生素会对真菌有一定抑制作用,高群落丰富度、均匀度的细菌会抑制真菌的生长代谢。土样修复30d时,处于PAHs降解的稳定期,PAHs降解速率趋于稳定,此时土壤中存在大量的高效降解菌并成为优势菌株,造成细菌群落的丰富度和多样性指数降低,细菌的群落多样性降低极大减弱了对真菌的抑制作用,也一定程度上提高了真菌的群落多样性。

2.6 土壤微生物群落结构变化

2.6.1 门水平群落结构组成分析

分别对土样的细菌和真菌前20和前11个优势菌

门进行分析,门水平下土壤细菌和真菌的群落结构相对丰度如图3、图4所示。

由图 3 可知,投加固定化混合菌生物强化修复 30 d后,土壤细菌的优势菌门发生了明显的变化。土壤初期以放线菌门(Actinobacteria)为主,丰富度为 86.71%,变形杆菌门(Proteobacteria)次之,丰富度为 11.43%,还存在少量的硬壁菌门(Firmicutes),丰富度为 0.68%。生物强化修复后变形杆菌门、硬壁菌门的丰富度均上升,变形杆菌门成为新的优势菌门,丰富度为 88.72%。

由图 4 可知,投加固定化混合菌生物强化修复 30 d后,土壤真菌优势菌门发生了明显的变化,土壤中门水平下群落结构发生了明显的改变,土壤中真菌群落明显增多。土壤初期以子囊菌门(Ascomycota)为主,丰富度为99.35%。生物强化修复后,鞭毛菌门(Mortierellomycota)成为新的优势菌门,丰富度为81.15%,子囊菌门(Ascomycota)丰富度降低至18.72%。

2.6.2 属水平的群落结构组成分析

属水平下土壤的细菌(前33优势菌属)和真菌 (前20优势菌属)属水平下群落相对丰度如图5、图6 所示。

由图5可知,修复前,土壤中细菌相对丰度大于0.5%的优势菌属有10个,分别是放线菌属(Actinoalloteichus)、假单胞菌属(Pseudomonas)、乔治菌属(Georgenia)、鞘脂菌属(Sphingobium)、斯克曼菌属(Skermanella)、双球菌属(Geminicoccus)、赤杆菌属(Novosphingobium)、分枝杆菌属(Mycobacterium)、短

表4 焦化厂土壤 Alpha 多样性指数

Table 4 Diversity index of soil Alpha in coking plant

项目Item	样本 Simple	ITS序列 ITS sequence	OTU	覆盖度指数 _ Coverage	丰富度指数 Richness index		多样性指数 Diversity indices	
					Ace	Chao 1	Shannon	Simpson
真菌 Fungus	CK	50 993	524	0.99	6 177.44	3 075.06	0.33	0.93
	MC-S4J7	58 735	683	0.99	9 567.32	6502	1.01	0.65
细菌 Bacterial	CK	80 392	3924	0.96	182 632.03	6 567.19	2.79	0.19
	MC-S4J7	79 906	3181	0.96	146 331.48	4 388.10	1.33	0.61

波单胞菌属(Brevundimonas)和诺卡氏菌属(Nocardioides),其丰富度分别为66.11%、6.26%、5.01%、2%、1.51%、0.92%、0.78%、0.62%、0.55%和0.54%。

投加固定化混合菌生物强化修复30 d后,细菌的菌属多样性降低,土壤中相对丰度大于0.34%菌属的种类下降至9个。土壤中细菌假单胞菌属(Pseudomonas)的相对丰度由6.26%上升至80.03%成为新的优势属,其他丰度较高的菌属为:代尔夫特菌属(Delf-

tia), 丰度为 7.53%; 芽孢杆菌属(Bacillus), 丰度为 4.91%; 乔治菌属(Georgenia), 丰度为 0.02%。

由图6可知,修复前,真菌主要由曲霉属(Aspergillus)、镰刀菌属(Fusarium)构成,其丰度分别为97.98%、0.31%。

投加固定化混合菌生物强化修复30 d后,真菌的菌属多样性略有增加。真菌被孢霉属(Mortierella)成为显著的优势菌属,丰度上升至81.15%,地丝霉属

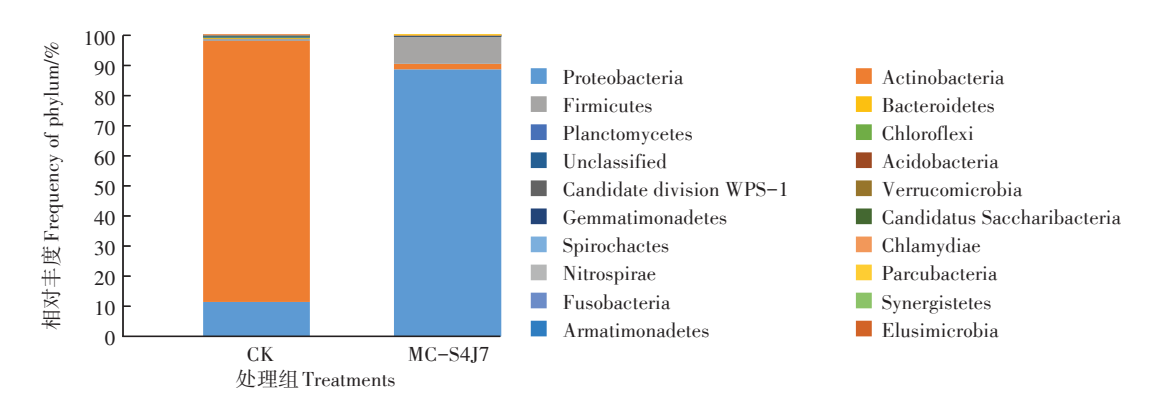


图3 土壤细菌门水平相对丰度

Figure 3 Relative abundance of the dominant phyla in different treatments(Bacteria)

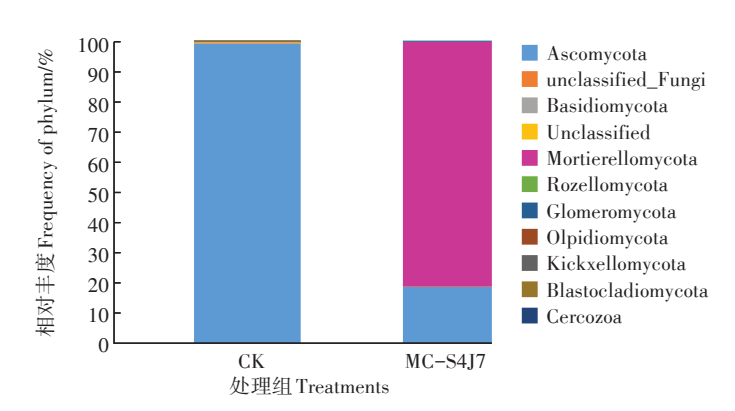


图4 土壤真菌门水平相对丰度

Figure 4 Relative abundance of the dominant phyla in different treatments (Fungi)

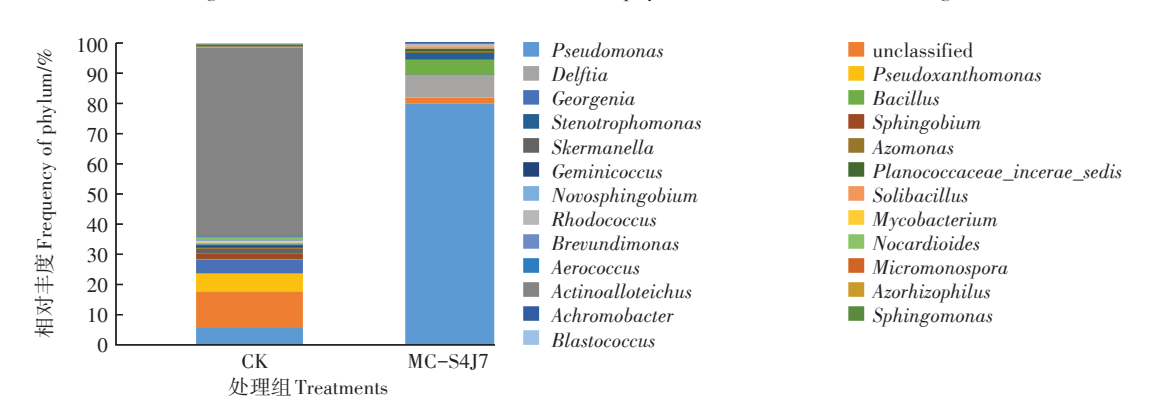


图 5 土壤细菌属水平相对丰度

Figure 5 Relative abundance of the dominant genera in different treatments (Bacteria)

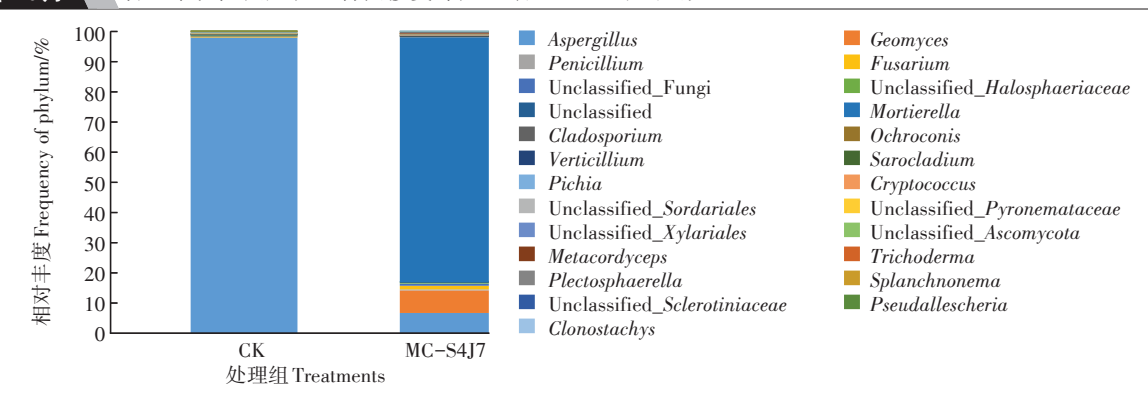


图 6 土壤真菌属水平相对丰度

Figure 6 Relative abundance of the dominant genera in different treatments(Fungi)

(Geomyces)次之,丰度为7.46%,曲霉属(Aspergillus) 丰度降低至6.72%,镰刀菌属(Fusarium)丰度提高至1.22%。

生物强化修复土壤中,固定化混合菌的投加对微 生物群落结构造成了明显变化,显著降低了细菌的群 落多样性和均匀度。Tian等[27]指出,土壤中微生物群 落多样性变化是暂时的,到降解的末期时,土壤中 PAHs浓度大幅度下降,降解速率逐渐缓慢,优势菌种 的丰度会开始下降,直至与土壤中其他微生物达到一 个平衡的状态,微生物的群落结构也会恢复到初期的 稳定状态。玉米芯富集了土壤中分布不均的PAHs, 同时为菌株提供了适宜的生存环境,保证菌株高效的 存活率,土壤中的假单胞菌属(Pseudomonas)与被孢 霉菌属(Mortierella)在降解过程中丰度均大于80%, 结合降解反应的动力学方程,在稳定期的降解中假单 胞菌属(Pseudomonas)、被孢霉属(Mortierella)的生长 代谢是PAHs降解的主要原因,投加混合菌后,假单 胞菌(Pseudomonas.sp SDR4)、高山被孢霉菌(Mortierella alpina.JDR7)的高丰度,即形成的真菌-细菌高效 共生降解体系是PAHs降解率提高的主要原因。

3 结论

- (1)玉米固定化真菌-细菌共生体系的构建对低温冻融环境有较好的抗性,显著提高了PAHs的降解率,60 d后,可分别降解(56.62±3.21)%和(38.21±1.82)%的Phe和BbF。
- (2)Michaelis-Menton 动力学方程分析显示,玉米 芯固定化技术显著提升了PAHs降解启动速率,稳定 前期对Phe 和BbF降解速率可分别达到2.02 d⁻¹ 和0.076 d⁻¹,约为游离菌降解速率的2倍。
 - (3)一级反应动力学模型分析得出,固定化混合

菌可将低温下 Phe 和 BbF 降解半衰期缩短至 50.17 d 和 80.12 d,约为游离菌降解半衰期的 0.41 倍,Monod 更清晰地分析了混合菌对低温土壤 PAHs 降解的动力学过程。

(4)投加玉米芯固定化混合菌生物强化修复改变了土壤微生物的结构和丰富度,降低了土壤细菌的种群多样性,细菌的 Shannon 多样性指数下降至2.33,属水平下假单胞菌(Pseudomouas sp. SDR4)和高山被孢霉菌(Mortierella alpina. JDR7)成为降解过程的优势菌株,降解率与SDR4和JDR7的丰度呈正相关,其相对丰度为80.03%和80.15%,形成了降解真菌-细菌共生优势菌株体系,明显提高了低温土壤中的PAHs污染的修复效果。

参考文献:

- [1] Lipson D A, Schmidts K. Seasonal changes in an alpine soil bacterial community in the Colorado Rocky Mountains[J]. *Applied and Environmental Microbiology*, 2004, 70(5):2867-2879.
- [2] BöLTERr M, Soethe N, Horn R, et al. Seasonal development of microbial activity in soils of northern Norway[J]. *Pedosphere*, 2005, 15 (6): 716-727.
- [3] 陈明华. 低氧条件下多环芳烃降解菌的筛选及降解特性研究[D]. 上海: 东华大学, 2014.
 - CHEN Ming-hua. Screening of polycyclic aromatic hydrocarbon degrading bacteria under hypoxic conditions and their degradation characteristics[D]. Shanghai: Donghua University, 2014.
- [4] Juhasza L, Naidu R. Bioremediation of high molecular weight polycyclic aromatic hydrocarbons: A review of the microbial degradation of benzo[a] pyrene[J]. *International Biodeterioration & Biodegradation*, 2000, 45(1):57-88.
- [5] 李志杰, 郭长城, 石 杰, 等. 高通量测序解析多环芳烃污染盐碱土 壤翅碱蓬根际微生物群落多样性[J]. 微生物学通报, 2017, 44(7): 1602-1612.
 - LI Zhi-jie, GUO Chang-cheng, SHI jie, et al. High-throughput sequencing analysis of rhizosphere microbial community diversity of

- Suaeda salina in saline-alkali soils polluted by polycyclic aromatic hydrocarbons[J]. Microbiology Bulletin, 2017, 44(7):1602–1612.
- [6] 苏 丹, 李培军, 王 鑫, 等. 混合菌固定化及其对土壤中芘和苯并芘的降解[J]. 辽宁工程技术大学学报, 2007(3):461-463. SU Dan, LI Pei-jun, WANG Xin, et al. Immobilization of mixed bacteria and their degradation of pyrene and benzopyrene in soil[J]. *Journal of Liaoning University of Technology*, 2007(3):461-463.
- [7] 苏 丹, 巩春娟, 王 鑫, 等. 耐冷腐殖酸吸附态 PAHs 降解菌筛选及其降解特性[J]. 环境科学学报, 2017, 7(10): 3943-3950. SU Dan, GONG Chun-juan, WANG Xin, et al. Screening and degradation characteristics of cold-resistant humic acid-adsorbed PAHs-degrading bacteria[J]. *Journal of Environmental Science*, 2017, 7(10): 3943-3950.
- [8] 刘 凌,崔广柏.土地生物处理过程中多环芳烃降解模型及应用 [J].土壤学报,2001,38(4):558-568.
 - LIU Ling, CUI Guang-bo. Models and applications of PAHs degradation in land biological treatment[J]. *Journal of Soil Science*, 2001, 38 (4):558-568.
- [9] 杨萌青, 李立明, 李 川, 等. 石油污染土壤微生物群落结构与分布特性研究[J]. 环境科学, 2013, 34(2):789-794.
 - YANG Meng-qing, LI Li-ming, LI Chuan, et al. Study on the structure and distribution of microbial communities in petroleum-contaminated soils[J]. *Environmental Science*, 2013, 34(2):789–794.
- [10] Leigh M B, Fletcher J S, Fu X, et al. Root turnover: An important source of microbial substrates in rhizosphere remediation of recalcitrant contaminants[J]. *Environmental Science & Technology*, 2002, 36 (7):1579-1583.
- [11] Zhang Y P, Wang F, Wei H J, et al. Enhanced biodegradation of poorly available polycyclic aromatic hydrocarbons by easily available one [J]. International Biodeterioration & Biodegradation, 2013, 84 (1): 72-78.
- [12] Wang J, Chen Z M, Chen B L. Adsorption of polycyclic aromatic hydrocarbons by graphene and graphene oxide nanosheets[J]. Environmental Science & Technology, 2014, 48(9):4817–4825.
- [13] 倪 妮,宋 洋,王 芳,等.多环芳烃污染土壤生物联合强化修复研究进展[J]. 土壤学报, 2016, 53(3):561-571.
 NI Ni. SONG Yang WANG Fang et al. Advances in bioremediation
 - NI Ni, SONG Yang, WANG Fang, et al. Advances in bioremediation of polycyclic aromatic hydrocarbon-contaminated soils[J]. *Journal of Soil Science*, 2016, 53(3):561-571.
- [14] 刘 健, 宋雪英, 孙瑞莲, 等. 胜利油田采油区土壤石油污染状况及其微生物群落结构[J]. 应用生态学报, 2014, 25(3):850-856. LIU Jian, SONG Xue-ying, SUN Rui-lian, et al. Soil oil pollution and microbial community structure in Shengli Oilfield production area[J]. Journal of Applied Ecology, 2014, 25(3):850-856.
- [15] 张俊叶, 俞 菲, 俞元春. 城市土壤多环芳烃污染研究进展[J]. 土壤通报, 2018, 49(1):243-252.

 ZHANG Jun-ye, YU Fei, YU Yuan-chun. Research progress on polycyclic aromatic hydrocarbons pollution in urban soils[J]. Soil Bulletin, 2018, 49(1):243-252.
- [16] 王世杰, 王 翔, 卢桂兰, 等. 低温微生物修复石油烃类污染土壤研究进展[J]. 应用生态学报, 2011, 22(4):1082-1088.

 WANG Shi-jie, WANG Xiang, LU Gui-lan, et al. Advances in low temperature microbial remediation of petroleum hydrocarbon-contam-

- inated soil[J]. Journal of Applied Ecology, 2011, 22(4):1082–1088.
- [17] 季秀玲, 魏云林. 低温微生物环境污染修复技术研究进展[J]. 环境污染治理技术与设备, 2006(10):6-11.

 JI Xiu-ling, WEI Yun-lin. Research progress of low temperature mi-
 - JI Xiu-ling, WEI Yun-lin. Research progress of low temperature microbial environmental pollution remediation technology[J]. *Environmental Pollution Control Technology and Equipment*, 2006 (10): 6–11.
- [18] 郑 洲, 刘芳明, 张波涛, 等. 南极石油烃降解嗜冷菌的筛选及其降解特性的研究[J]. 海洋科学进展, 2007(3):311-316.

 ZHENG Zhou, LIU Fang-ming, ZHANG Bo-tao, et al. Screening of psychrophilic bacteria for petroleum hydrocarbon degradation in antarctica and their degradation characteristics[J]. Advances in Marine
- [19] 王泽华, 王 峰. 低温条件下土壤石油烃微生物修复研究进展[J]. 环境科学与技术, 2017, 40(1):139-144.
 WANG Ze-hua, WANG Feng. Advances in microbial remediation of petroleum hydrocarbons in soils under low temperature[J]. Environmental Science and Technology, 2017, 40(1):139-144.

Science, 2007(3):311-316.

- [20] Teresa J C. Polycyclic aromatic hydrocarbon biodegradation and kintics using using Cunninghamella echinulata var. elegans[J]. International Biodetertoration and Biodegradation, 1995, 35(4):397-408.
- [21] 周 宇, 马刚平, 张向伟, 等. 多环芳烃类污染土壤强化生物修复技术研究及应用[J]. 环境工程, 2017, 35(12):184-188.

 ZHOU Yu, MA Gang-ping, ZHANG Xiang-wei, et al. Research and application of enhanced bioremediation technology for polycyclic aromatic hydrocarbons contaminated soil[J]. Environmental Engineering, 2017, 35(12):184-188.
- [22] 王 鑫, 苏 丹, 李海波. 固定化微生物对土壤中苯并芘的降解 [J]. 生态环境学报, 2011, 20(3):532-537. WANG Xin, SU Dan, LI Hai-bo. Degradation of benzopyrene in soil by immobilized microorganisms[J]. Journal of Ecological Environment, 2011, 20(3):532-537.
- [23] 巩宗强, 李培军, 王 新, 等. 芘在土壤中的共代谢降解研究[J]. 应用生态学报, 2001, 12(3):447-450. GONG Zong-qiang, LI Pei-jun, WANG Xin, et al. Co-metabolic degradation of pyrene in soil[J]. *Journal of Applied Ecology*, 2001, 12(3): 447-450.
- [24] 崔长征, 冯天才, 于亚琦, 等. 降解蒽嗜盐菌 AD-3 的筛选、降解特性及加氧酶基因的研究[J]. 环境科学, 2012, 33(11):4062-4068. CUI Chang-zheng, FENG Tian-cai, YU Ya-qi, et al. Screening, degradation characteristics and oxygenase gene of anthracene-degrading halophilic bacteria AD-3[J]. Environmental Science, 2012, 33(11): 4062-4068.
- [25] Jain R K, Kapur M, Labana S, et al. Microbial diversity: Application of micro organisms for the biodegradation of xenbiotics[J]. Current Science, 2005, 89(1):101-111.
- [26] De Boer W, Wagenaar A M, Klein Gunnewiek Paulien J A, et al. In vitro suppression of fungi caused by combinations of apparently non-antagonistic soil bacteria[J]. FEMS Microbiology Ecology, 2007, 59(1): 177-185
- [27] Tian J, Zhao Y J, Sun H M, et al. The effect of irrigation with oil-polluted water on microbial communities in estuarine reed rhizosphere soils[J]. Ecological Engineering, 2014, 70(1):275-281.